

Semestrální projekt MI-PPR.2 2014/2015

Paralelní algoritmus pro řešení problému

Karel Fiala
Michal Kučera

České vysoké učení technické v Praze
Fakulta informačních technologií
Thákurova 9, 160 00 Praha 6
Česká republika

2. prosince 2014

Obsah

1	Definice problému a popis sekvenčního algoritmu	3
1.1	Úloha PEK: Permutace číselných koleček	3
1.1.1	Vstupní data	3
1.1.2	Pravidla a cíl hry	3
1.1.3	Definice	4
1.1.4	Výstup algoritmu	4
1.1.5	Sekvenční algoritmus	4
1.1.6	Paralelní algoritmus	4
2	Popis paralelního algoritmu a jeho implementace v MPI	5
2.1	Odlišnost od sekvenčního algoritmu	5
2.2	Směr komunikace	5
2.3	Práce se zásobníkem	5
2.4	Ukončení výpočtu	5
2.5	Parametry algoritmu	6
2.6	Spouštění	6
3	Naměřené výsledky a vyhodnocení	6
3.1	Ethernet vs. Infiniband	6
3.2	Konfigurace měření	6
3.2.1	Spouštění	6
3.2.2	Konfigurace dimenze a horní mez	7
3.2.3	Datové soubory	7
3.3	Tabulka s výsledky	8
3.4	Grafy	9
3.5	Vyhodnocení	12
4	Závěr	12

1 Definice problému a popis sekvenčního algoritmu

1.1 Úloha PEK: Permutace číselných koleček

1.1.1 Vstupní data

n = délka rovnostranného trojúhelníka, $n \geq 5$

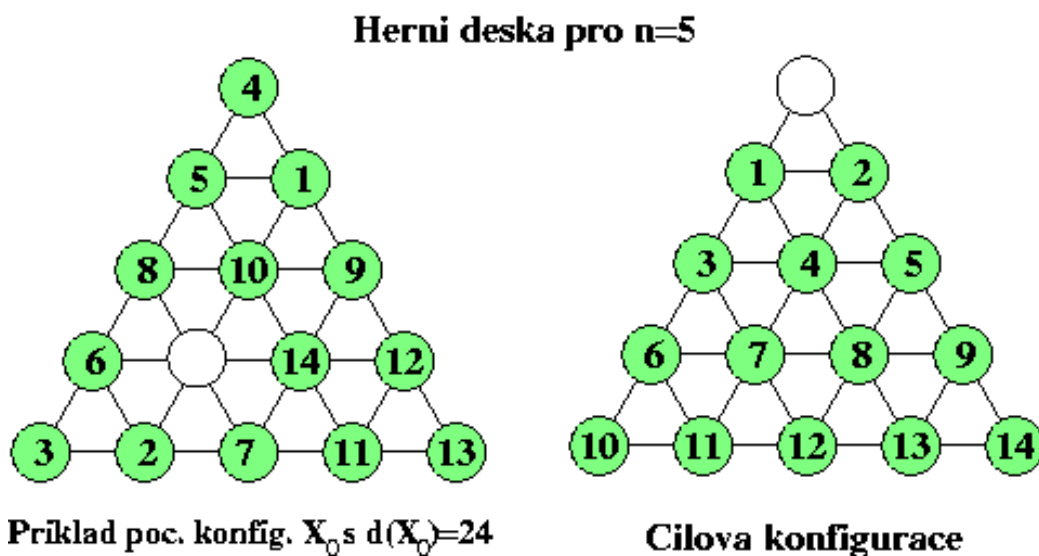
q = přirozené číslo, $n^2 > q$

X_0 = počáteční konfigurace zkonstruovaná zpětným provedením q náhodných tahů z cílové konfigurace. Platí $q \geq d(X_0)$.

./balls.out <n> <q> <data file>

1.1.2 Pravidla a cíl hry

Herní deska má tvar rovnostranného trojúhelníka o délce strany n , kde v i -tem řádku je i políček, ležících na průsečících úseček, rovnoběžných se stranami trojúhelníka. V těchto políčkách jsou podle určité permutace rozmístěna kolečka s čísly $1, \dots, M-1$, kde $M = n(n+1)/2$. Jedno políčko zůstává volné, viz příklad na obrázku 1.



Obrázek 1: Hrací plocha

Tomuto rozmístění koleček budeme říkat počáteční konfigurace X_0 . Jeden tah je přesun kolečka na sousední volné políčko ve směru některé úsečky.

Cílem hry je použitím minimálního počtu tahů převést počáteční konfiguraci X_0 do cílové konfigurace C , ve které jsou kolečka seřazena vzestupně po řádcích tak, že políčko na horním vrcholu trojúhelníkové desky je volné, viz obrázek vpravo. Úloha má vždy řešení.

1.1.3 Definice

Je-li X konfigurace rozmístění všech koleček na herní desce, pak t_X je počet doposud provedených tahů, kterými jsme převedli počáteční konfiguraci X_0 do konfigurace X .

d_X je spodní mez počtu tahů, kterými se lze dostat z konfigurace X do cílové konfigurace C . Tato spodní mez je rovna součtu vzdáleností koleček od jejich cílových políček. Vzdálenost 2 políček v této síti se počítá takto: Jsou-li obě políčka na úsečce rovnoběžné se stranou trojúhelníka, pak je vzdálenost rovna jejich lineární vzdálenosti po této úsečce. V opačném případě tvoří políčka vrcholy kosodélníka a vzdálenost se rovná součtu délek jeho dvou stran. Spodní mez počtu tahů nejlepšího možného řešení je tedy d_{X_0} .

Generování počátečního stavu: X_0 vygenerujeme nejprve q náhodně provedenými zpětnými tahy z cílové konfigurace C .

1.1.4 Výstup algoritmu

Výpis nejkratší posloupnosti tahů vedoucí z počáteční konfigurace do cílové konfigurace.

Odchylka od zadání: Výpis nejmenšího počtu tahů vedoucí z počáteční konfigurace do cílové konfigurace.

1.1.5 Sekvenční algoritmus

Sekvenční algoritmus je typu BB-DFS s neomezenou hloubkou stromu konfigurací. Přípustný stav je cesta z počáteční do cílové konfigurace C . Cena, která se minimalizuje, je počet tahů takové cesty.

Horní mez počtu tahů je q .

Dolní mez je d_{X_0} .

1.1.6 Paralelní algoritmus

Paralelní algoritmus je typu L-PBB-DFS-D.

Odchylka od zadání: Implementovali jsme algoritmus typu G-PBB-DFS-D. Důvodem bylo zrychlení hledání řešení, pomocí dynamického zkracování prohledávaného prostoru.

2 Popis paralelního algoritmu a jeho implementace v MPI

2.1 Odlišnost od sekvenčního algoritmu

Paralelní algoritmus se výpočetně neliší od sekvenčního algoritmu. O celou komunikaci v MPI se stará jedna funkce, která je volána ze „sekvenčního algoritmu“ v případě, že

- nemá proces práci (zásobník je prázdný)
- proces našel nové řešení
- proces vykonal XYZ kroků

2.2 Směr komunikace

Celá komunikace probíhá jedním směrem v kruhu. Procesy žádají o práci proces číslo $MyRank - 1$ a naopak práci posílají procesu s číslem $MyRank + 1$.

2.3 Práce se zásobníkem

Zásobník se spravedlivě půlí a posílá se vždy spodní část zásobníku. Tím nedochází k situaci, že by nejlépe konfigurace byla zpracována až jako poslední. Díky rozdělení výpočetně náročnějších konfigurací ze dna zásobníku také klesá potřeba komunikace a přerozdělování práce, což se pozitivně odráží na lineárním zrychlení paralelního algoritmu.

2.4 Ukončení výpočtu

Ukončení výpočtu je realizováno pomocí *token* ve formě čítače. Každý proces, který od doby inicializace žádosti o ukončení dostane práci, najde výsledek nebo „uslyší“ o novém výsledku, tento čítač resetuje na počáteční hodnotu a nedojde tak k předčasnému ukončení výpočtu. O inicializaci žádosti o

ukončení a případně o ukončení výpočtu vždy rozhoduje proces s číslem 0.

2.5 Parametry algoritmu

Zapne dynamického zkracování prohledávaného prostoru na základě již známých výsledků. Tento parametr však „maskuje“ linearitu zrychlení a proto byl pro potřeby měření vypnut.

```
#define SMART_SEARCH 1
```

Parametr, který určuje frekvenci komunikace. Jedná se o počet konfigurací, které budou vyřešeny před zavoláním komunikačního okénka.

```
#define COMWIN_REQ_STEPS 100
```

2.6 Spouštění

Program spouštíme

```
./balls.out <n> <q> <data file>
```

3 Naměřené výsledky a vyhodnocení

3.1 Ethernet vs. Infiniband

Na námi navrženém algoritmu se rozdíl mezi komunikační sítí **Infiniband** (41, 4s) a **Ethernet** (39, 8s) neprojevil. Všechny rozdíly měření byly menší než odchylka měření. Vysvětlujeme si to tím, že náš algoritmus přenáší pouze nezbytně nutné a výpočetně výhodné informace a také heterogenní prostředí clusteru STAR s sebou přináší velkou odchylku měření (až 8%).

3.2 Konfigurace měření

3.2.1 Spouštění

Všechny uvedené hodnoty byly naměřeny s komunikační sítí **Infiniband** a spuštěny pomocí:

```
qrun.sh 24c #CPU long <skript s konfigurací>
```

3.2.2 Konfigurace dimenze a horní mez

```
./balls <dimenze> <horní mez> <data>  
./balls n q data_n
```

```
./balls 4 19 triangle4  
./balls 5 17 triangle5  
./balls 6 15 triangle6
```

3.2.3 Datové soubory

−1 reprezentuje prázdné políčko.

Soubor: triangle4

```
1  
3 2  
8 4 5  
6 7 -1 9
```

Soubor: triangle5

```
4  
5 1  
8 3 9  
6 -1 2 7  
10 11 12 13 14
```

Soubor: triangle6

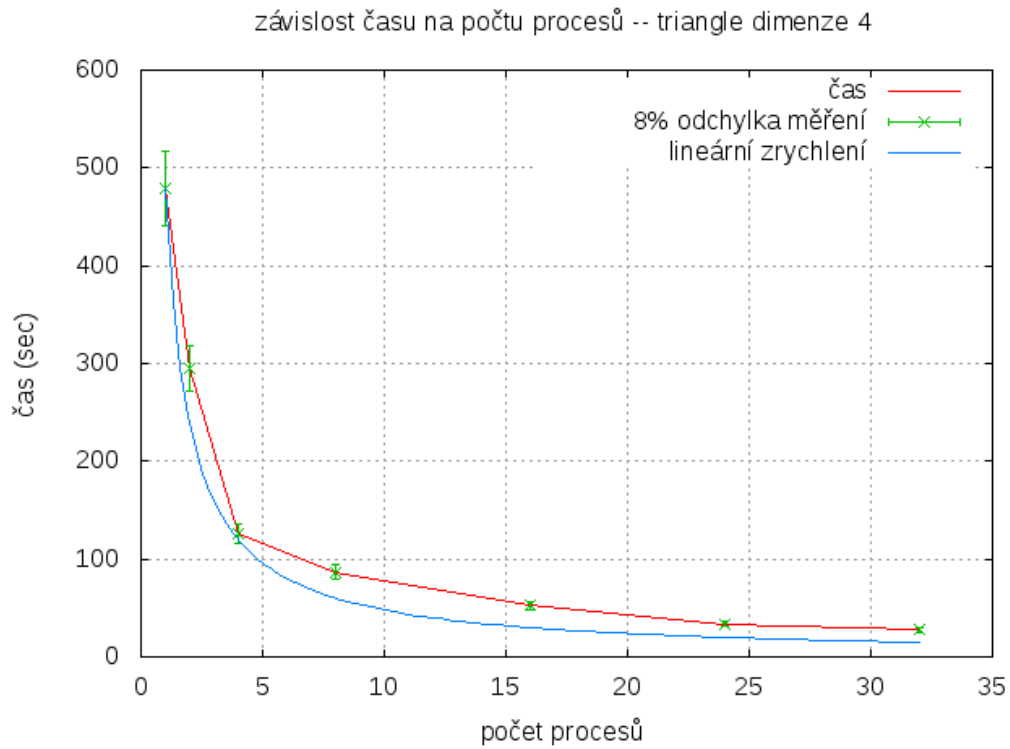
```
4  
5 1  
2 3 7  
6 -1 8 9  
10 11 12 13 14  
15 16 17 18 19 20
```

3.3 Tabulka s výsledky

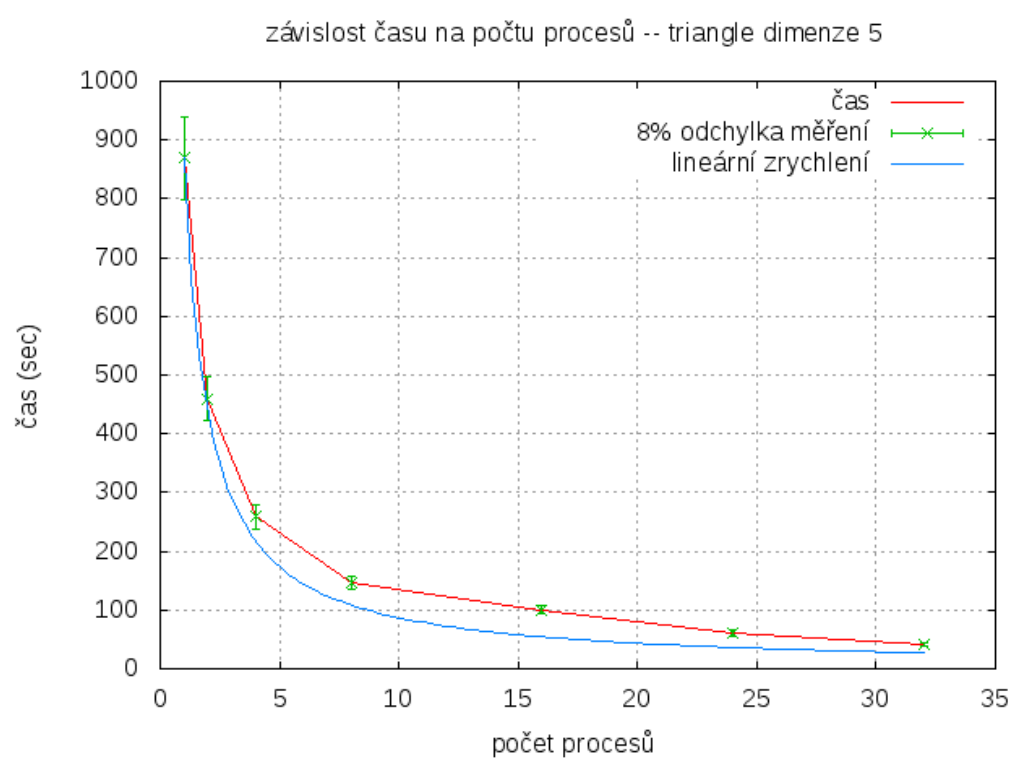
#CPU	triangle4	triangle5	triangle6
1	478.645257	868.954290	287.384048
2	294.697964	459.874666	177.874139
4	126.608475	259.122906	97.633753
8	86.888339	146.344138	44.997678
16	52.924784	100.802686	32.854664
24	33.590004	60.888389	18.830592
32	27.893136	42.098020	14.369734

3.4 Grafy

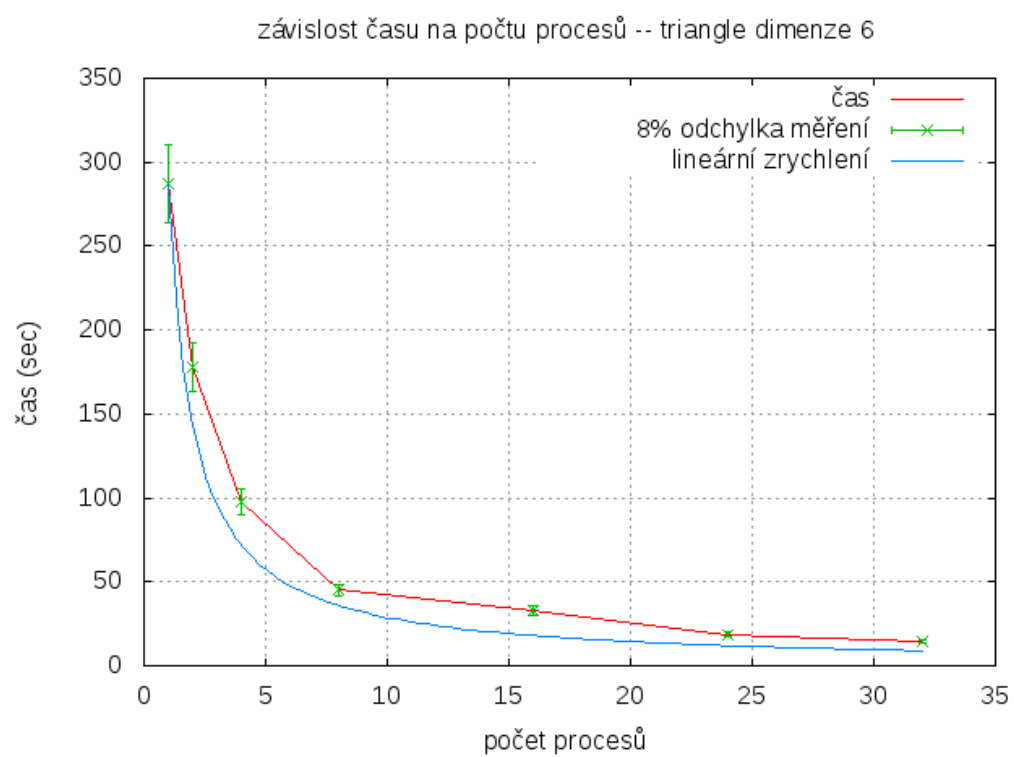
Na grafech lineárního zrychlení $S(n, p)$ je zobrazen naměřený čas, přibližná odchylka měření a průběh lineárního zrychlení, který vychází z naměřené hodnoty sekvenčního řešení.



Obrázek 2: Měření pro trojúhelník dimenze 4



Obrázek 3: Měření pro trojúhelník dimenze 5



Obrázek 4: Měření pro trojúhelník dimenze 6

3.5 Vyhodnocení

Zrychlení je lineární.

Díky prohledávání stavového prostoru do hloubky je algoritmus paměťově nenáročný a nevzniká tak superlineární zrychlení.

4 Závěr

Zkušenost s MPI je velkým přínosem, stejně tak i oživení programování v $C/C++$.

Překvapilo nás relativně snadné použití knihovny MPI.